

## ДИСКРЕТНЫЕ ЯВЛЕНИЯ В МЕХАНИКЕ РАЗРУШЕНИЯ С ПОЗИЦИИ СИНЕРГЕТИКИ

*И.Г. Грабар*

Принято считать, что разрушение возможно, если поток энергии в вершине трещины  $W_i$  достигает некоторой критической величины [1], откуда следует энергетический критерий разрушения

$$W_i \geq U_0. \quad (1)$$

Справедливость неравенства (1) не вызывает сомнения с позиции классической механики, однако приводит к противоречию с опытом, особенно в случае усталостного разрушения.

Пусть в образце на  $i$ -м цикле нагружения начала развиваться усталостная трещина, т.е. начало выполняться неравенство (1). Известно, что характерная скорость распространения трещины  $V \approx (0,3-0,4) C$  [2], где  $C$  — скорость упругих волн. При частоте нагружения 100 Гц и отсутствии условий релаксации нагрузки (например, мягкое нагружение) трещина за один цикл должна преодолеть расстояние  $\sim 10$  м, что примерно на 6–10 порядков больше наблюдаемого в эксперименте. Учетом пластической зоны в вершине трещины можно несколько смягчить данный результат, но отнюдь не снять противоречие: если в локальном объеме выполняется (1), то он разрушается, открыв путь трещине к соседнему объему, который вследствие выполнения [1] также разрушится и т.д., причем скорость процесса  $V \sim C$ , и даже при высоких частотах нагружения весь процесс разрушения может осуществиться за один или несколько циклов, что явно противоречит опыту.

Теория Гриффитса и разрушение как критическое событие построены на представлениях классической механики, т.е. требуют обязательного выполнения неравенства [1] и не учитывают времени развития процесса.

За последние 30 лет (прежде всего благодаря работам школы С.Н. Журкова) развит новый подход к разрушению — кинетический. Установлено [3–6], что разрушение — это не критическое событие, а процесс, развиваемый во времени, и определяющая роль в преодолении потенциального барьера  $U_0$  принадлежит тепловым флуктуациям, а внешняя нагрузка  $\sigma$  лишь несколько снижает высоту потенциального барьера и препятствует рекомбинации разрушенных связей, причем, как показано многочисленны-

ми экспериментами,

$$W_i = \gamma \sigma \ll U_0. \quad (2)$$

Таким образом, школой С.Н. Журкова заложены основы нового подхода к процессу разрушения и экспериментально доказана возможность разрушения при  $W_i < U_0$ . Но при этом, что вполне естественно с позиции кинетического подхода, время в разрушении играет фундаментальную роль наряду с внешней нагрузкой и температурой [3–6]:

$$\tau = \tau_0 \exp \frac{U_0 - \gamma \sigma}{kT}. \quad (3)$$

Легко видеть, что выполнение неравенства (2) снимает противоречие о катастрофическом развитии усталостной трещины за один или несколько циклов, но требует пересмотра системы сложившихся взглядов на процесс усталостного разрушения. В частности, при  $W_i < U_0$  спектр поглощения подводимой энергии не может быть непрерывным [7].

С другой стороны, за последние два десятилетия школой В.С. Ивановой получены и обобщены экспериментальные данные, необъяснимые с позиции классической механики, и прежде всего — дискретные явления в кинетике усталостного разрушения [8–14]. В данной работе предпринята попытка объяснения этих экспериментальных данных с позиции синергетики.

Кинетика изотермического роста усталостной трещины в пластине. Пусть зародившаяся в пластине усталостная трещина развивается в направлении некоторой оси  $Ox$ . Произведем разбиение траектории трещины на элементарные отрезки  $\Delta x$ . При  $T = \text{const}$  в первом приближении очередное подрастание трещины на величину  $\Delta x_{ij}$  осуществится за время

$$\tau_{ij} = \tau_0 \exp \frac{U_{ij}}{kT}. \quad (4)$$

С увеличением длины трещины напряженное состояние в вершине трещины будет возрастать, а потенциальный барьер  $U_{ij}$ , согласно [3], снижаться, пробегая ряд значений из некоторого непрерывного спектра. Скорость роста трещины на  $ij$ -м отрезке

$$V_{ij} = \frac{\Delta x_{ij}}{\tau_{ij}} = C \exp \left( -\frac{U_{ij}}{kT} \right). \quad (5)$$

Экспериментально установлено [10, 12], что  $V_{ij}$  на больших участках траектории остается постоянной (рис. 1). Из [5] следует, что в пределах  $j$ -го участка, содержащего большое число элементарных отрезков,  $U_{ij} = \text{const}$  и скачкообразно изменяется при переходе на  $(j + 1)$ -й участок. А это означает, что значения  $U_{ij}$  образуют дискретный спектр, что и предсказывалось из анализа неравенства [2].

В [10, 14] показано, что смена скоростей роста усталостной трещины (РУТ) подчиняется  $\Delta$ -зависимости В.С. Ивановой [8]. Как следует из (5), в изотермических условиях для выполнения соотношения

$$V_{ij}/V_{j+1} = \Delta \quad (6)$$

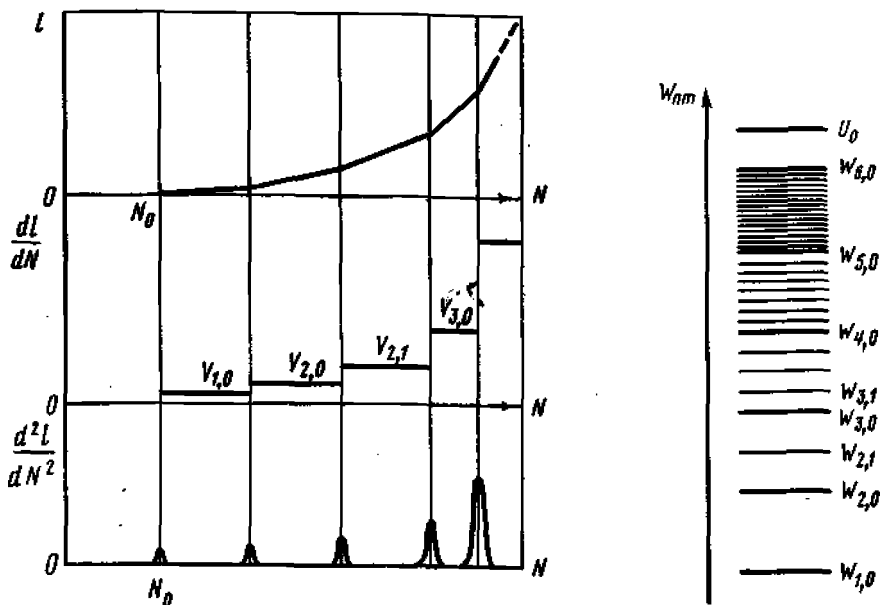


Рис. 1. Зависимость длины, скорости и ускорения усталостной трещины от числа циклов в условиях дискретного роста (схема)

Рис. 2. Полный спектр поглощения в системе нелинейных осцилляторов, подчиняющихся бифуркации удвоения периода Фейгенбаума

достаточно, чтобы

$$U_{j+1} - U_j = \delta U = \text{const}. \quad (7)$$

Аналогично для выполнения соотношения

$$V_j / V_{j+1} = \Delta^{1/2^j} \quad (8)$$

достаточно, чтобы

$$U_{j+1} - U_j = \delta U / 2^j. \quad (9)$$

Величину  $\delta U = \text{const}$  — дискретное снижение энергии активации — отождествим с поглощением некоторого фонона

$$\delta U = \hbar \omega_*, \quad (10)$$

где  $\hbar$  — постоянная Планка,  $\omega_*$  — характеристическая частота. Из [7–10] полный спектр поглощения

$$W_{n,m} = \hbar \omega_* \left( n + \frac{m}{2^{n-1}} \right), \quad (11)$$

где  $n \in N$  — главное квантовое число,  $m \in N_0$  — подуровневое квантовое число, причем  $m \leq 2^{n-1}$ .

Полный спектр поглощения (11) представлен на рис. 2. Основные уровни ( $m = 0$ ) нанесены основными линиями, а подуровни ( $m \neq 0$ ) — тонкими.

Из (11) и рис. 2 следует, что с ростом главного квантового числа  $n$  растет и число подуровней между основными уровнями пропорционально  $2^{n-1}$ , что приводит при больших  $n$  к вырождению дискретного спектра в непрерывный, где становятся справедливыми подходы классической механики. Очевидно, стадию критического долома можно рассматривать как критическое событие, удовлетворительно описываемое теорией Гриффитса, с оговоркой, что  $W_{n,m}$  стремится к  $U_0$ , оставаясь меньше его.

Таким образом, кинетический подход не отвергает теорию Гриффитса, а, наоборот, содержит ее как предельный случай при высоких уровнях нагружения.

**Характеристическая частота и универсальная постоянная разрушения.** Как следует из зависимостей (5) и (11),

$$V_{1,0} = C \exp\left(-\frac{U_0 - \hbar \omega_*}{kT}\right); \quad V_{2,0} = C \exp\left(-\frac{U_0 - 2\hbar \omega_*}{kT}\right); \quad \dots \quad (12)$$

тогда

$$V_{1,0}/V_{2,0} = V_{2,0}/V_{3,0} = \dots = \exp(-\hbar \omega_*/kT) = \Delta_T. \quad (13)$$

При  $T = 300$  К имеем

$$\omega_* = -300 \frac{k}{\hbar} \ln \Delta_{300}. \quad (14)$$

Воспользовавшись известным соотношением квантовой статистики  $\hbar \omega_* = k \theta_*$  [14], можно представить в более удобном виде:

$$\theta_* = -300 \ln \Delta_{300}, \quad (15)$$

причем из [8]

$$\Delta_{300} = \sqrt{GL_m/EH_{300}}, \quad (16)$$

где  $E$  — модуль упругости,  $G$  — модуль сдвига,  $L_m$  — скрытая теплота плавления,  $H_{300}$  — теплота нагрева от  $T = 300$  К до температуры плавления.

В табл. 1 приведены значения  $\theta_*$  для некоторых металлов, а также их температуры Эйнштейна и Дебая. Причем частота Эйнштейна определялась из гармонического приближения

$$\omega_3 = \frac{\sqrt{r}}{a_0} \sqrt{\frac{E}{\rho}}, \quad (17)$$

где  $a_0$  — постоянная решетка,  $r$  — число атомов в элементарной ячейке объема  $a_0^3$ ,  $\rho$  — плотность. Для гексагональных решеток расчет проводился методом приведения к эквивалентной кубической решетке.

Анализ табл. 1 показывает, что, за исключением свинца,  $\omega_* \sim \omega_D$ , причем в большинстве случаев характеристическая частота попадает в интервал между частотой Эйнштейна и Дебая. Характерно, что функция фононной плотности для одноатомных кристаллов имеет абсолютный экстремум в окрестности  $\omega_D$  и локальный экстремум в окрестности  $\omega_3$  [15, 16].

**Эффект удвоения периода в системе нелинейных осцилляторов.** При выводе формулы (11) оказалось, что в спектре поглощения наряду с основной гармоникой  $\omega_*$  появляются субгармоники  $\omega_*/2^{n-1}$ .

Таблица 1

Сравнение характеристической температуры с температурами Эйнштейна и Дебая для некоторых металлов

Металл	$\theta_*, K$ (15)	$\theta_D, K$ (16)	$\theta_E, K$ (17)	Металл	$\theta_*, K$ (15)	$\theta_D, K$ (16)	$\theta_E, K$ (17)
K	69	100	42	Ag	278	215	103
Na	125	150	78	Cu	268	315	158
Li	204	400	145	Ni	276	375	208
Fe	334	420	197	Au	282	—	76
Nb	306	275	115	Mg	245	318	137
Mo	313	380	193	Co	335	385	164
Ta	316	225	110	Y	352	256	92
W	302	310	156	Ti	340	380	144
Cr	335	460	217	Zr	307	250	104
V	334	390	165	Os	298	400	159
Pb	252	88	37	Zn	236	—	112
Al	224	394	195				

Известно много систем различной природы (от гидродинамики до электроники), претерпевающих при изменении управляющего параметра иерархию последовательных удвоений периода, когда с увеличением возбуждения в системе нелинейных осцилляторов наряду с основной частотой появляются частоты  $1/2, 1/4, 1/8, \dots$  от основной. Это явление, получившее название удвоения периода, характерно для самоорганизующихся систем [17]. При этом, правда, остается открытым вопрос о физических условиях, при которых оказывается возможным реализация механизма удвоения периода.

Насколько корректным будет применение подходов синергетики к анализу РУТ, т.е. насколько рассматриваемая система соответствует требованиям самоорганизующейся системы? В пользу такой корректности могут служить следующие доводы:

1) система образец-нагрузочное устройство является динамической открытой системой, 2) система состоит из большого числа стохастически описываемых подсистем (осцилляторов), 3) при возбуждении кристалла возрастает интенсивность взаимодействия между соседними осцилляторами и взаимодействие становится все более нелинейным.

Расчеты показывают, что вследствие некачки энергии в открытую нелинейную систему энтропия уменьшается ( $aS < 0$ ), что является явным признаком процесса самоорганизации [18].

Кроме этого, вдали от состояния термодинамического равновесия поведение нелинейных осцилляторов может быть описано известными уравнениями Дюффинга

$$\ddot{x}_i + \alpha \dot{x}_i + \beta x_i + \gamma x_i^3 = A_0 + A_1 \sin(\omega_0 t), \quad (18)$$

где  $\alpha, \beta, \gamma$  — константы кристалла,  $A_0, A_1, \omega_0$  — параметры внешнего периодического нагружения. Анализ (18) показывает, что при возрастании управляющего параметра  $A_1$  происходит последовательное удвоение периода [17].

В [19] показано, что субгармоника половинной частоты, появившаяся после бифуркации, менее насыщенная, чем основная гармоника. После большого числа бифуркаций система ведет себя аperiodически, образуя сплошной широкополосный спектр.

Из табл. 1 видно, что по крайней мере для металлов кубической сингонии  $\omega_3 \sim \omega_D/2$ . Как отмечалось, функция фононной плотности имеет экстремумы в окрестностях  $\omega_D$  и  $\omega_3$ , причем  $F(\omega_D) > F(\omega_3)$ . Это позволяет предположить, что широкополосный непрерывный фононный спектр данных металлов может быть получен с основной частоты, например  $\omega_D$ , вследствие большого числа бифуркаций удвоения периода.

На рис. 2 подуровни, появившиеся в результате последовательных удвоений периода, нанесены тонкими линиями. Тогда переход  $W_{1,0} \rightarrow W_{2,0}$  эквивалентен снижению потенциального барьера на величину  $\hbar\omega_*$ , следующий переход  $W_{2,0} \rightarrow W_{2,1}$  снижает потенциальный барьер еще на величину  $\hbar\omega_*/2$  и т.д.

Таким образом, реализация механизма последовательных удвоений периода в системе нелинейных осцилляторов позволяет объяснить природу дискретной  $\Delta$ -зависимости В.С. Ивановой. При этом особо следует отметить, что в пределах модели удвоения периода  $\Delta$ -зависимость является не приближенной, а точной. Наблюдаемые в эксперименте отклонения вносятся погрешностью эксперимента и размытием характеристической частоты  $\omega_*$ . Покажем это на примере изотермического РУТ. Из (5) и (13) можно получить

$$\begin{aligned} V_{1,0}/V_{2,0} &= \exp(-\hbar\omega_*/kT) = \Delta_T, \\ V_{2,0}/V_{2,1} &= \exp(-\hbar\omega_*/2kT) = \sqrt{\Delta_T}, \\ V_{3,0}/V_{3,1} &= \exp(-\hbar\omega_*/4kT) = \sqrt{\sqrt{\Delta_T}}, \\ &\dots \end{aligned} \tag{19}$$

Соотношения (19) подтверждены экспериментально [10, 12].

Оценка предельной скорости трещины. Покажем, что с позиций рассматриваемого подхода можно оценить предельно возможную скорость роста трещины в твердом теле. На рис. 3 изображен осциллятор между двумя потенциальными барьерами высотой  $U_0$ . Анализ экспериментальных данных показывает, что средняя энергия осциллятора  $kT \ll U_0$ . Следовательно, для перескока через барьер вправо или влево осциллятору необходимо ожидать критическую флуктуацию, т.е. при  $kT < U_0$  время является фундаментальным параметром процесса разрушения. Время ожидания критической флуктуации можно уменьшать, повышая температуру и (или) внешнюю нагрузку. И только если удалось бы реализовать условие

$$kT = U_0 - \gamma\delta, \tag{20}$$

то распространение трещины стало бы надбарьерным и не зависящим от времени, что из формулы (5) позволяет получить

$$V_{\text{пред}} = C/e = 0,368 \text{ С}. \tag{21}$$

Анализ обширных экспериментальных данных, выполненный В.М. Финкелем [2], показал, что

$$V_{\text{пред}} \leq 0,38 \text{ С}. \tag{22}$$

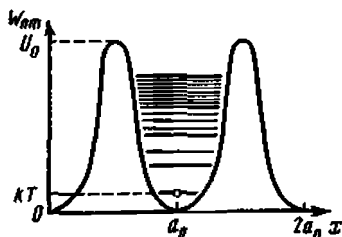
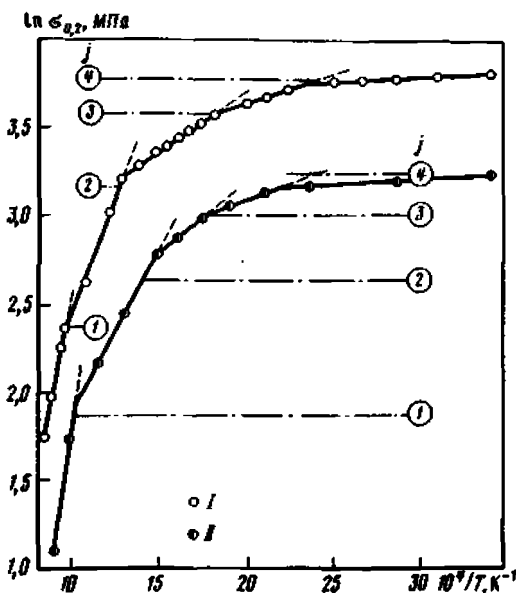


Рис. 3. Нелинейный осциллятор в потенциальном рельефе (к выводу формулы предельной скорости трещины)

Рис. 4. Зависимость условного предела текучести технической меди от температуры при скоростях деформирования

Штрихпунктир — теоретический  $\Delta$ -спектр [24]



Это позволяет предположить, что вплоть до супермаксимальных внешних нагрузок процесс разрушения является термофлуктуационным. И только дополнительная накачка энергии непосредственно в вершину трещины (например, с помощью лазера) позволяет достигнуть скорости трещины больше  $0,38 C$  [2]. При этом, очевидно, удастся реализовать условие надбарьерного роста трещины

$$kT > U_0 - \gamma\sigma. \quad (23)$$

Проявление процесса самоорганизации при других видах температурно-силового нагружения. Кроме рассмотренного явления упорядоченной  $\Delta$ -дискретности РУТ, известны другие эксперименты, в которых наблюдались резкие макроскопические изменения, причем во всех случаях эти макроскопические изменения были упорядочены  $\Delta$ -зависимостью В.С. Ивановой [8, 11, 22]. Остановимся более подробно на одном из таких явлений.

В настоящее время на температурных зависимостях прочностных характеристик  $\sigma_{1,2}, \sigma_1, \sigma_2, \dots, \sigma_B, HV$  и др. ряда металлов выявлены особые точки, не позволяющие описать данные зависимости единими гладкими функциями во всем исследуемом диапазоне температур [20–23]. В координатах  $\ln \sigma - 1/T$  данные зависимости с высоким значением коэффициента корреляции ( $r > 0,96$ ) аппроксимируются отрезками прямых с характерными переломами, которые четко указывают границы изменения действующего механизма пластической деформации.

Установлено, что значения напряжений в точках изломов данных зависимостей упорядочены и с удовлетворительной точностью подчиняются  $\Delta$ -зависимости В.С. Ивановой

$$\sigma_j / \sigma_{j+1} = \Delta^{1/2^j}. \quad (24)$$

Таблица 2

Сопоставление теоретического дискретного спектра с экспериментальными значениями, обнаруженными по переломам температурных зависимостей  $\sigma_{0,2}$  технической меди

$j$ (см. рис. 4)	Теоретический спектр	Экспериментальный спектр при скорости деформирования, $\text{с}^{-1}$			
		$2,5 \cdot 10^{-2}$	$5,3 \cdot 10^{-3}$	$1,1 \cdot 10^{-3}$	$2,4 \cdot 10^{-4}$
0	$\Delta = 0,168$	—	—	—	—
1	$\Delta^{1/2} = 0,41$	0,43	0,41	0,43	0,44
2	$\Delta^{1/4} = 0,64$	0,68	—	—	—
3	$\Delta^{1/8} = 0,80$	0,84	0,73	0,81	0,84
4	$\Delta^{1/16} = 0,90$	—	0,90	0,90	0,90

Причем значения  $j$  возрастают в область низких температур. Наиболее четко упорядоченность (24) проявляется на температурных зависимостях условного предела текучести. На рис. 4 представлены такие зависимости для технической модели при скоростях деформирования  $2,5 \cdot 10^{-2}$  (1) и  $2,4 \cdot 10^{-4}$  с<sup>-1</sup> (2) [21, 22].

В табл. 2 приведено сопоставление дискретного теоретического спектра (24) (пунктирные линии на рис. 4) со значениями, полученными экспериментально.

Приведенный пример позволяет предположить, что циклическое нагружение (правая часть уравнения (18)) является необязательным условием, приводящим к макроскопическим проявлениям процесса самоорганизации. К такому же эффекту может приводить и линейно возрастающая нагрузка. А проявление во всех случаях  $\Delta$ -зависимости В.С. Ивановой свидетельствует, очевидно, о том, что реализуется наиболее простая схема бифуркации — схема удвоения периода М. Фейгенбаума [17, 19].

На основании всего сказанного можно сделать следующие выводы.

1. Критический и кинетический подходы к разрушению отличаются знаком неравенства в балансе энергии.

2. Макроскопическое проявление дискретности на кинетических диаграммах температурно-силового нагружения металлов свидетельствует о мощных коллективных процессах на микроуровне, что позволяет оценить их поведение с позиции синергетики.

3. Обосновано применение к описанию РУТ кинетического подхода С.Н. Журкова. Показано хорошее совпадение данного подхода с экспериментальными данными для оценки предельно возможной скорости трещины.

4. Проявление дискретной  $\Delta$ -зависимости на кинетических диаграммах РУТ, на температурных диаграммах условного предела текучести и др. свидетельствует о реализации в металле под нагрузкой как самоорганизующейся системы нелинейных осцилляторов, наиболее простого механизма бифуркаций — механизма удвоения периода М. Фейгенбаума.



## ЛИТЕРАТУРА

1. *Екобори Т.* Научные основы прочности и разрушения материалов. Киев: Наук. думка, 1978. 352 с.
2. *Финкель В.М.* Физика разрушения. М.: Металлургия, 1970. 376 с.
3. *Журков С.Н., Нарзуллаев Б.Н.* Временная зависимость прочности твердых тел // ЖТФ. 1953. Т. 23, № 10. С. 1677–1689.
4. *Регель В.Р., Слуцкер А.И., Томашевский Э.Е.* Кинетическая природа прочности твердых тел. М.: Наука, 1974. 560 с.
5. *Журков С.Н.* Проблемы прочности твердых тел // Вестн. АН СССР. 1957. № 11. С. 78–82.
6. *Салганик Р.Л., Слуцкер А.И., Айдаров Х.* Квантовые особенности кинетики разрушения твердых тел // ДАН СССР. 1984. Т. 274, № 6. С. 1362–1366.
7. *Ландау Л.Д., Лифшиц Е.М.* Квантовая механика. М.: Наука, 1972. 368 с.
8. *Иванова В.С., Терентьев В.Ф.* Природа усталости металлов. М.: Металлургия, 1975. 456 с.
9. *Иванова В.С.* Спектры энергии активации элементарных процессов атомных перестроек в металлах // ДАН СССР. 1975. Т. 220, № 3. С. 579–581.
10. *Шлявский А.А.* Диаграмма дискретного РУТ в алюминиевых сплавах // Тез. пленар. докл. VIII Всесоюз. конф. по усталости металлов. М.: ИМЕТ АН СССР. 1982. С. 72–76.
11. *Радченко А.И.* Дискретно-вероятностная модель выработки ресурса деталей и элементов конструкций // Вопросы эксплуатационной долговечности и живучести конструкций летательных аппаратов. Киев: КНИГА, 1982. С. 3–12.
12. *Кириленко А.И.* Дискретные процессы усталостного разрушения алюминиевых материалов Д16АТВ: Автореф. дис. ... канд. техн. наук. Киев, 1985. 18 с.
13. *Грубар И.Г.* Явления квантования в механике разрушения алюминиевых материалов // Тез. докл. II Всесоюз. симпоз. по механике разрушения. Киев: ИПП АН УССР, 1985. Т. 3. С. 21.
14. *Шлявский А.А., Кунаши С.А.* Механизм и диаграмма дискретного РУТ в алюминиевых сплавах // Изв. АН СССР. Металлы. 1984. № 2. С. 159–163.
15. *Борн М., Хуан К.* Динамическая теория кристаллических решеток. М.: Изд-во иностр. лит., 1958. 488 с.
16. *Ашкрофт Н., Мермин Н.* Физика твердого тела. М.: Мир, 1979. Т. 1. 400 с.; Т. 2. 422 с.
17. *Хакен Г.* Синергетика. Иерархия неустойчивостей в самоорганизующихся системах и устройствах. М.: Мир, 1985. 423 с.
18. *Климонтович Ю.Л.* Энтропия и производство энтропии при ламинарном и турбулентном течениях // Письма в ЖТФ. 1984. Т. 10, № 2. С. 80–85.
19. *Фейгенбаум М.* Универсальность в поведении нелинейных систем // УФН. 1983. Т. 141, вып. 2. С. 343–374.
20. *Борисенко В.А.* Зависимость прочности вольфрама и молибдена от температуры // Докл. АН УССР. Сер. А. 1976. № 6. С. 546–550.
21. *Стаценко В.Е.* Прочность и пластичность тугоплавких металлов и сплавов при различных скоростях деформирования в широком интервале температур: Автореф. дис. ... канд. техн. наук. Киев, 1980. 23 с.
22. *Борисенко В.А., Краценко В.П., Стаценко В.Е., Грубар И.Г.* Явление упорядоченной дискретности на температурных зависимостях прочностных характеристик технической меди // Прочность материалов и конструкций при низких температурах: Тез. докл. II Всесоюз. конф. Киев: ИПП АН УССР, 1986. С. 16.
23. *Краценко В.П., Рудницкий Н.П., Двоеглазов Г.А., Ермолаев Г.В.* Механические характеристики сплава АМг6м в широком диапазоне температур и скоростей деформирования // Пробл. прочности. 1985. № 6. С. 38–44.